

## **Effect of Interferon- $\gamma$ on Expression of CD39 and CD73 Genes in the Human Wharton's Jelly Mesenchymal Stem Cells**

Rahimzadeh M<sup>1</sup>, Pirdel L\*<sup>2</sup>

1. Department of Biology, Tabriz Branch, Islamic Azad University, Tabriz, Iran

2. Department of Medicine, Ardabil Branch, Islamic Azad University, Ardabil, Iran

\*Corresponding author. Tel: +984533728020, Fax: +984533715514, E-mail: lpirdel@iauardabil.ac.ir

Received: Jan 5, 2018      Accepted: Mar 11, 2018

### **ABSTRACT**

**Background & objectives:** Mesenchymal stem cells have been known as hypo-immunogenic and immunosuppressive cells. Exposure of mesenchymal stem cells to interferon (IFN- $\gamma$ ) may influence their immunomodulatory properties. In the present study, the expression level of adenosine producing CD39 and CD73 ectonucleotides as an immunosuppressant were evaluated in Wharton's Jelly- derived Mesenchymal Stem Cells (WJ-MSCs) in the presence and absence of IFN- $\gamma$ .

**Methods:** In this experimental study, MSCs were isolated, cultured, and propagated from Wharton's jelly obtained from human umbilical cord. The phenotypic characterization of these cells was performed via analysis of their surface markers using flow cytometry. Then, the cultured mesenchymal stem cells were treated with IFN- $\gamma$ . After 24 hours, the expression levels of CD39 and CD73 genes were analyzed using qPCR in control and IFN- $\gamma$ -treated cells.

**Results:** Flow cytometric analysis of stem cells revealed morphological similarity to fibroblastic cells and expression of CD105 and CD73 markers in these cells. The results of qPCR showed that the expression level of CD39 was significantly increased in IFN- $\gamma$ -treated cells compared to non-treated cells, while there was no significant difference in CD73 expression level between control and IFN- $\gamma$  - treated cells.

**Conclusion:** The results indicated the possible role of IFN- $\gamma$  in development of the immunoregulatory capacity of mesenchymal stem cells through expression of target genes. However this should be studied precisely.

**Keywords:** Mesenchymal Stem Cells; Interferon Gamma; Adenosine; CD39; CD73

## اثر اینترفرن گاما بر بیان ژن‌های CD39 و CD73 در سلول‌های بنیادی مزانشیمی مشتق از ژله وارتون بند ناف انسانی

مریم رحیم زاده<sup>۱</sup>، لیلا پیردل<sup>۲\*</sup>

۱. گروه زیست شناسی، واحد تبریز، دانشگاه آزاد اسلامی، تبریز، ایران

۲. گروه پزشکی، واحد اردبیل، دانشگاه آزاد اسلامی، اردبیل، ایران

\* نویسنده مسئول. تلفن: ۰۴۵۳۷۲۸۰۲۰. فاکس: ۰۴۵۳۷۲۱۵۵۱۴. پست الکترونیک: lpirdel@iauardabil.ac.ir

### چکیده

**زمینه و هدف:** سلول‌های بنیادی مزانشیمی به عنوان سلول‌های با ایمونوژنیسیته پایین و تعدیل کننده ایمنی شناخته شده‌اند. مواجهه سلول‌های بنیادی مزانشیمی با اینترفرن گاما (IFN-γ) ممکن است ویژگی‌های تعدیل کننده این سلول‌ها را تحت تأثیر قرار دهد. در مطالعه حاضر، میزان بیان اکتونوکلئوتیدازهای CD39 و CD73 تولید کننده آدنوزین به عنوان مهارکننده ایمنی در سلول‌های بنیادی مزانشیمی مشتق از ژله وارتون کشت شده در حضور و غیاب INF بررسی شد.

**روش کار:** در این مطالعه تجربی، سلول‌های بنیادی مزانشیمی از ژله وارتون بندناف انسان استخراج، کشت و تکثیر داده شدند. شناسایی فتوتیپ این سلول‌ها از طریق آنالیز فلوسایتومتری مارکرهای سطحی آنها صورت گرفت. سپس سلول‌های بنیادی مزانشیمی کشت داده شده با اینترفرن گاما تیمار شدند. پس از گذشت ۲۴ ساعت بیان CD39 و CD73 با استفاده از روش qPCR در سلول‌های کنترل و سلول‌های تیمار شده با γ-IFN بررسی شدند.

**یافته‌ها:** آنالیز فلوسایتومتری سلول‌های بنیادی با مورفولوژی شبیه سلول‌های فیبروبلاستی نشان‌دهنده بیان مارکرهای سطحی CD105 و CD73 در این سلول‌ها بود. داده‌های qPCR نشان داد که بیان CD39 در مواجهه با γ-IFN نسبت به حالت بدون مواجهه به صورت معنی‌داری افزایش یافته است، در حالی که بعد از تیمار با γ-IFN در سطح بیان CD73 بین سلول‌های کنترل و سلول‌های تیمار شده تفاوت معنی‌داری مشاهده نشد.

**نتیجه‌گیری:** نتایج نقش احتمالی اینترفرن گاما در ایجاد ظرفیت تعديل ایمنی سلول‌های بنیادی مزانشیمی را نشان می‌دهد که ممکن است از طریق بیان ژن‌های هدف نمایان شود و این می‌باشد مورد مطالعه قرار گیرد.

**واژه‌های کلیدی:** سلول‌های بنیادی مزانشیمی، اینترفرن گاما، آدنوزین، CD73، CD39.

دریافت: ۱۳۹۶/۱۰/۱۵ پذیرش: ۱۳۹۶/۱۲/۲۰

ایمنی‌زایی پایین این سلول‌ها از یکسو و خاصیت تعديل کننده ایمنی (ایمونومدولاتوری) آنها از سوی دیگر به همراه سهولت استخراج و کشت آنها از بافت‌های مختلف، کاربرد این سلول‌ها به عنوان یک منبع مناسب برای استراتژی‌های درمانی را فراهم آورده است [۳]. عملکرد تنظیم کننده ایمنی سیستم MSCها بر اثر تماس مستقیم با سلول‌های هدف و یا با واسطه ترشح فاکتورهای محلول نظیر IL-10

### مقدمه

سلول‌های بنیادی مزانشیمی (MSC)<sup>۱</sup>، سلول‌های چند توانی هستند که از قدرت خود تجدید شوندگی برخوردار بوده و در عین حال می‌توانند به انواع دودمان‌های بافت همبند از جمله آدیپوسیت، کندروسیت و استئوسیت تمایز گردد [۲, ۱]. ویژگی

<sup>۱</sup> Mesenchymal Stem Cells (MSCs)

ابزار مورد استفاده سلول‌های T تنظیمی (T reg) و سلول‌های MSC، برای سرکوب اینمی از طریق تماس سلولی در شرایط التهابی بشمار می‌رود [۲۴,۲۳]. علاوه بر این، فعالیت مهاری آدنوزین تولید شده از سلول‌های توموری سبب فرار از مراقبت اینمی و تسريع رشد سلول‌های توموری می‌شود [۲۶,۲۵]. با اینکه آدنوزین می‌تواند پاسخ‌های التهابی و سلول‌های T کمکی نوع یک (Th1) و سلول‌های T کمکی نوع هفده (Th17) را در مدل موشی بیماری پیوند علیه میزبان (GVHD)<sup>۱</sup> [۲۷] و بیماران مبتلا به مالتیپل اسکلروزیس (MS)<sup>۲</sup> [۲۸] در نتیجه افزایش تکثیر سلول‌های T کمکی نوع دو (Th2) و سلول‌های T تنظیمی (T reg) تعدیل نماید، مطالعه انجام شده توسط کاتر و همکاران مشخص کرد که تولید آدنوزین در لنفوسيت‌های B مرکز زایای فولیکول‌های لنفاوی برای تولید پلاسماسل‌های با عمر طولانی و ایجاد اینمی هومورال نیز لازم است [۲۹].

تحقیق حاضر با هدف بررسی تأثیر تیمار با اینترفررون گاما بر سطح بیان ژن‌های CD39 و CD73 صورت گرفت و فرض بر این بوده که این تیمار سایتوکاینی ممکن است یک راه برای تحریک فعالیت تعديل کنندگی اینمی سلول‌های بنیادی مزانشیمی مشتق از ژله وارتون<sup>۳</sup> به عنوان ابزار تنظیم‌گر سیستم اینمی باشد.

### روش کار

#### جداسازی و کشت سلول‌های بنیادی ژله وارتون بندناف انسانی

بندناف نوزادن سالم پس از دریافت رضایت‌نامه از مادر و انجام عمل سزارین جمع‌آوری شد و تحت شرایط استریل در داخل سرم فیزیولوژی از بیمارستان به آزمایشگاه کشت سلولی منتقل شد.

<sup>1</sup> Graft Versus Host Disease (GVHD)

<sup>2</sup> Multiple Sclerosis (MS)

<sup>3</sup> Wharton's Jelly-Mesenchymal Stem Cells (WJ-MSCs)

TGF-β1، پروستاگلندین E2 (PGE2)، فاکتور رشد سلول‌های کبدی (HGF) و آنزیم IDO [۴-۹] اعمال می‌شود و ممکن است نقش بسیار حائز اهمیتی در جهت افزایش ماندگاری عضو پیوندی و جلوگیری از ایجاد بیماری‌های خود اینمی و بیماری‌های آلرژیک بر عهده داشته باشد [۱۰-۱۳].

به تازگی مطالعات نشان داده‌اند که عملکرد ایمونومدولاتوری MSC‌ها منشاء ذاتی ندارد و MSC‌ها این عمل را به واسطه ترشح سایتوکاین‌های التهابی مانند IFN-γ و یا به همراه سایتوکاین‌های دیگری نظیر TNF-α، IL-1α و IL-1β که از لکوسیت‌های فعال شده تولید می‌شوند، اعمال می‌کنند [۱۵,۱۴]. اینترفررون گاما (IFN-γ) به عنوان یکی از مهمترین تنظیم‌کننده‌های سیستم اینمی (۱۶) توسط سلول‌های اینمی ذاتی از قبیل سلول‌های NK و سلول‌های اینمی اکتسابی مانند لنفوسيت‌های CD4<sup>+</sup> T (Th1) و CD8<sup>+</sup> (Th1) در پاسخ به تحریکات آنتی‌ژنیک و ایمونولوژیک تولید می‌شود [۱۷]. نشان داده شده است که در حضور اینترفررون گاما سلول‌های بنیادی مزانشیمی تکثیر سلول T را مهار می‌کنند بطوری که سلول‌های فاقد گیرنده IFN-γ فعالیت سرکوب اینمی خود در مقابل تکثیر سلول T را از دست خواهند داد [۱۸]. فاکتور محلول دیگری که پیشنهاد می‌شود در عملکرد سرکوب اینمیها نشان مهمنی ایغا می‌کند، آدنوزین است [۱۹]. سطح آدنوزین خارج سلولی در طی یک واکنش التهابی یا آسیب بافتی از طریق فعالیت‌های آنزیمی CD39 و CD73 می‌تواند افزایش یابد [۲۰]. (اکتو CD39 نوکلئوژید تری فسفات دی فسفوھیدرولاز یا NTPDase-1) و CD73 (اکتو-۵-نوکلئوتیداز) اکتونوکلئوتیدازهای غشائی هستند که به ترتیب AMP/ADP را به ATP و سپس ATP/ADP آدنوزین تبدیل می‌کنند و بدین ترتیب یک محیط پیش التهابی مشتق از ATP را به یک محیط ضد التهابی القاشه با آدنوزین سوق می‌دهند [۲۱,۲۲]. آدنوزین

فیکوارتیرین (PE)<sup>۴</sup> ضد نشانگر CD105 به هر میکروتیوب اضافه شده و برای مدت ۵ دقیقه در دمای ۴ درجه سانتی گراد در تاریکی قرار داده شدند. سپس دو بار با PBS حاوی ۲% FBS درصد، شستشو داده شدند. جهت حذف واکنش‌های غیراختصاصی از آنتی‌بادی‌های ایزوتوپیک کنترل استفاده شد. سپس سلول‌ها با دستگاه فلوسایتومتری مورد بررسی قرار گرفتند.

#### استخراج RNA و انجام RT-PCR

استخراج RNA از سلول‌های بنیادی تیمار شده با ۲۰ ng/ml IFN- $\gamma$  برای مدت ۲۴ ساعت و نیز One Step-RNA سلول‌های کنترل با استفاده از کیت Reagent طبق دستورالعمل شرکت Bio Basic سازنده صورت گرفت. با توجه به پروتکل کیت لیز سلول‌ها انجام شد. بعد از لیزشدن کامل سلول‌ها، استخراج به کمک کلروفرم و ایزوپروپانول انجام می‌گیرد تا رسوب RNA به دست آید. در نهایت پس از شستشو با اتانول ۷۰٪ RNA حاصل در آب حل گردید. تعیین غلظت و خلوص RNA بر اساس نسبت جذب در طول موج ۲۶۰/۲۸۰ به ۲۸۰ (OD260/280) نانومتر با دستگاه نانودرایپ صورت گرفت. یکپارچگی و سلامت (کیفیت) RNA استخراجی نمونه‌ها با الکتروفورز بر روی ژل اگارز سنجیده شد. جهت حذف هرگونه باقیمانده DNA ژنومی، نمونه‌های RNA استخراجی با I DNase تیمار شدند.

سنتز cDNA بر اساس پروتکل کیت PrimeScript<sup>TM</sup> RT Reagent (Takara, Japan) در RT- PCR با cDNA تهیه شده از RNA استخراج شده از سلول‌های مزانشیمی به منظور بررسی بیان ژن‌های مورد نظر در دمای بینه اتصال پرایمرهای ۱ میکرولیتر از هر پرایمر، ۱۲/۵ میکرولیتر از ۱ میکرولیتر cDNA Master Mix با حجم نهایی ۲۰ میکرولیتر انجام گرفت. کلیه پرایمرهای مربوط از

سپس برای ضدغوفنی کردن در معرض الكل ۷۰٪ بمدت ۳۰ ثانیه قرار گرفت و بدنبال آن، شستشو با بافر PBS<sup>۱</sup> دو بار تکرار گردید. جداسازی سلول‌های بند ناف انسانی به روش کشت قطعه‌ای بافت صورت گرفت. بندناف به قطعات کوچک بربده شده و پس از جداسازی عروق خونی، تکه‌های ژله وارتون به آرامی برداشته شدند و به محیط کشت ۲۰% DMEM-LowGlucose (Gibco, UK) درصد سرم جنین گاوی<sup>۲</sup> (Gibco, UK) (FBS) و ۱ درصد پنی‌سیلین/استرپتومایسین (Gibco, UK) و آمفوتیریسین B (Sigma, USA) در داخل فلاسک‌های کشت سلولی T25 در شرایط دمایی ۳۷ درجه سانتی‌گراد و ۵ درصد CO<sub>2</sub> کشت داده شدند. محیط کشت فلاسک‌ها هر ۳ تا ۴ روز یکبار به مدت دو هفته تعویض شدند. پس از اینکه تراکم سلولی به ۷۵-۸۰ درصد رسید، سلول‌ها بوسیله مخلوط ۱/۵٪ Trypsin-EDTA (Gibco, UK) از کف ظروف کشت کنده شده و به منظور استفاده در آزمایش‌های بعدی پاساژ داده شدند. این مرحله به عنوان پاساژ صفر در نظر گرفته شد.

#### آنالیز فلوسایتومتری سلول‌های بنیادی ژله وارتون انسانی

برای بررسی مارکرهای سطح سلولی CD73 و CD105 سلول‌های بنیادی مزانشیمی و تایید آنها توسط فلوسایتومتری از سلول‌های کشت داده شده در پاساژهای ۳ تا ۵ استفاده گردید. بعد از شستشوی سلول‌های تریپسینه شده با PBS و شمارش سلولی، غلظت آنها به تعداد ۱-۲ × ۱۰<sup>۶</sup> سلول در هر میلی‌لیتر رسید و ۱۰۰ میکرولیتر از سوسپانسیون سلولی به لوله‌ها منتقل، سپس ۱۰ میکرولیتر از آنتی‌بادی‌های مونوکلونال کنژوگه شده با فلورسین ایزوتوپ‌سیانیت (FITC)<sup>۳</sup> ضد نشانگر CD73 و یا

<sup>1</sup> Phosphate Buffered Saline

<sup>2</sup> Fetal Bovine Serum (FBS)

<sup>3</sup> Fluorescein Isothiocyanate (FITC)

<sup>4</sup> Phycoerythrin (PE)

درجة سانتی گراد به مدت ۲۰ ثانیه و تنظیم دمای ذوب در بازه دمایی ۵۵ تا ۹۵ درجه سانتی گراد جهت تشکیل نمودار منحنی ذوب بود. برای آزمایش qPCR حداقل ۳ تکرار برای هر نمونه استفاده شد. نتایج ارزیابی عملکرد آزمایش qPCR با استفاده از منحنی استاندارد ژن‌های مورد نظر و مرجع ترسیم و همچنین عملکرد اختصاصی آغازگرها از طریق منحنی ذوب بررسی شد. نهایتاً داده‌های به دست آمده جهت تعیین بیان نسبی ژن‌ها نسبت به ژن گلیسرآلدهید ۳- فسفات دهیدروژناز (GAPDH)<sup>۱</sup> با استفاده از روش  $\frac{Ct}{Ct_{\text{ref}}}$  مورد آنالیز قرار گرفت.

#### تجزیه و تحلیل‌های آماری

تجزیه و تحلیل نتایج به وسیله نرم افزار GraphPad Prism (نسخه ۴/۰/۵) انجام گرفت. مقایسه بین گروه‌ها با استفاده از آزمون آماری من ویتنی<sup>۲</sup> انجام شد. داده‌ها بصورت میانگین $\pm$  انحراف معیار نمایش داده شد. حدود اطمینان در تمامی آزمایشات ۹۵ درصد در نظر گرفته شد و  $m = 0.5 \pm 0.05$  معنی دار محسوب گردید.

#### یافته‌ها

**بررسی مورفولوژی و ایمونوفوتایپ سلول‌های بنیادی مزانشیمی بند ناف انسان**  
پس از قرار دادن قطعات ژله وارتون برای مدت ۱۲-۱۰ روز در محیط کشت، جوانه‌های سلولی از کناره‌ها شروع به رشد کردند و یک هفته بعد از آن کف پلیت را پوشاندند. طی کلیه مراحل، سلول‌های استرومایی بند ناف با میکروسکوپ معکوس مورد بررسی قرار گرفتند که سلول‌های شبه‌فیبروبلاستی با زوایدی به اطراف کشیده و چسبیده به بستر فلاسک کشت بودند. زمانی که ۸۰ درصد از کف فلاسک کشت توسط سلول‌های چسبیده فیبروبلاستی شکل اشغال شدند.

<sup>۱</sup> Glyceraldehyde-3-Phosphate Dehydrogenase (GAPDH)

<sup>۲</sup> Mann-Whitney

شرکت Bioneer کره جنوبی خریداری شدند. توالی پرایمرهای مورد استفاده در جدول ۱ آمده است.

جدول ۱. توالی پرایمرهای مورد استفاده

Gene	Primer sequence (5'-3')
CD39	F: AAGTGAAGAGTTGGCAGACAG R: GGGACTATGCTGAACCACC
CD73	F: TGTGGGAATCGTTGGATA R: TCTACTTCAGGTTGTAATGC
GAPDH	F: GAAGGTGAAGGTCGGAGT R: GAAGATGGTGTGGATTTC

بعد از مرحله دناتوراسیون اولیه که به مدت ۱۰ دقیقه در دمای ۹۵ درجه سانتی گراد انجام شد، تکثیر قطعات در ۳۵ سیکل با دماهای ۹۵ درجه سانتی گراد به مدت ۲۵ ثانیه، اتصال پرایمرها در دمای مناسب به مدت ۳۰ ثانیه و ۷۲ درجه سانتی گراد به مدت ۳۰ ثانیه انجام گرفت. دمای طویل‌سازی نهایی نیز ۷۲ درجه سانتی گراد و به مدت ۵ دقیقه انجام شد. محصولات PCR بر روی ژل آگاروز ۱/۵٪ الکتروفورز شدند و باندهای ایجاد شده با استفاده از اشعه UV و به کمک دستگاه Uvidoc مشاهده و عکس‌برداری شدند.

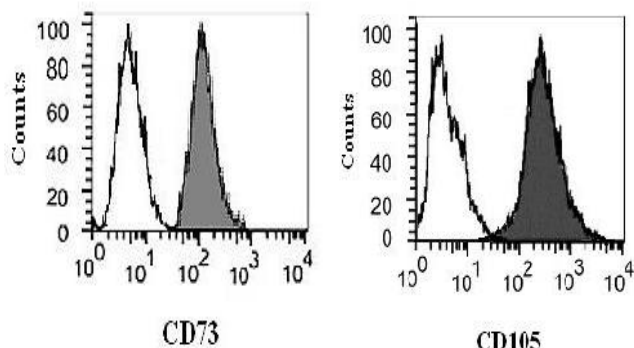
**Quantitative Real Time-PCR (qPCR)** بیان کمی ژن‌های CD39 و CD73 در نمونه‌های RNA استخراج شده از سلول‌های بنیادی مزانشیمی تیمارشده با یا بدون  $\gamma$ -IFN با استفاده از کیت SYBR Premix (Tli Rnase H Plus) (Takara, Japan) Ex Tag II طبق پروتوكل شرکت سازنده انجام شد. برای انجام qPCR از دستگاه ترمال سایکلر (Giagen, Rotor-Gene 6000) (Netherlands) استفاده شد. مخلوط واکنش محتوی ۵٪ میکرولیتر از هر پرایمر Revers و Forward (۱۰ پیکومول)، ۱۰ میکرولیتر ۷٪ SYBR Master Mix و ۲ میکرولیتر cDNA شامل آب مقطر دوبار تقطیر برای رساندن به حجم نهایی ۲۰ میکرولیتر بود. برنامه دمایی شامل ۹۵ درجه سانتی گراد به مدت ۱۰ دقیقه، ۴ سیکل شامل ۹۵ درجه سانتی گراد به مدت ۱۰ ثانیه، اتصال پرایمرها در دمای مناسب به مدت ۳۰ ثانیه و در نهایت ۷۲

وارتون بند ناف انسانی بود (شکل ۲). البته در بیشتر مطالعات مارکرهای CD45، CD34، CD105 و CD73 برای شناسایی سلول‌های بنیادی مزانشیمی مورد استفاده قرار می‌گیرند و لیکن در مطالعه حاضر به دلیل محدودیت مالی فقط مارکرهای CD105 و CD73 مورد بررسی قرار گرفت.

پاساژ داده شدن و سلول‌های زنده به چند فلاسک تقسیم شدند. نتیجه اولین پاساژ بعد از کشت، تولید رده سلولی از سلول‌های بنیادی مزانشیمی بند ناف انسان بود (شکل ۱). برای اثبات بنیادی بودن سلول‌ها بررسی فلوسایتومتری انجام گرفت و نتایج حاصل از فلوسایتومتری نشان‌دهنده بیان مارکرهای سطحی CD105 و CD73 در سلول‌های بنیادی مزانشیمی ژله



شکل ۱. سلول‌های بنیادی مزانشیمی مشتق از ژله وارتون بند ناف انسانی (WJ-MSCs) در حال جدا شدن از کناره‌های قطعه بافتی کشت داده شده (A). تکثیر و گسترش سلول‌های بنیادی مزانشیمی ژله وارتون بند ناف انسانی با مورفولوژی شبیه فیبروبلاستی پس از حذف قطعه بافتی اولیه در انتیابی پاساژ صفر (B).



شکل ۲. آنالیز فلوسایتومتری مارکرهای سطحی CD73 و CD105 سلول‌های بنیادی ژله وارتون انسانی.

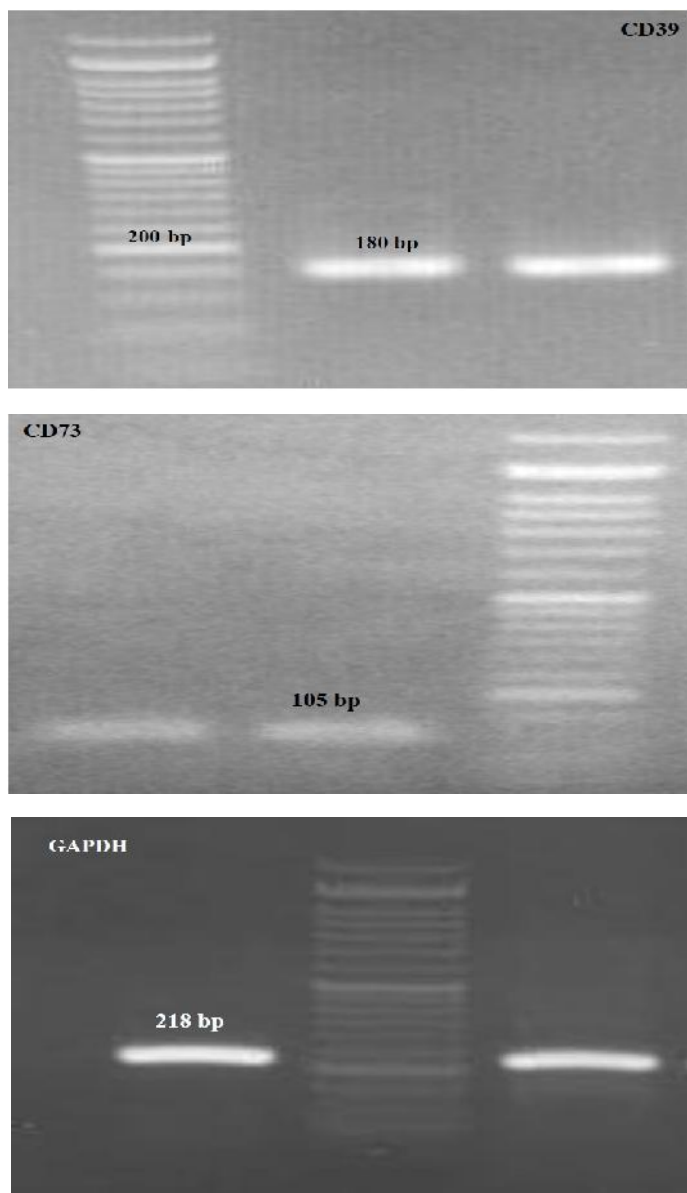
الکتروفورز نیز بررسی شد. در ادامه نمونه‌های RNA خالص‌سازی شده که از کیفیت مطلوبی برخوردار بودند جهت سنتز cDNA به کار گرفته شدند. نمونه‌های cDNA سلول‌های بنیادی مزانشیمی ژله وارتون که در معرض تیمار با یا بدون  $\gamma$ -IFN- $\gamma$  قرار گرفته بودند توسط واکنش رونویسی معکوس سنتز شدند. بعد از سنتز cDNA، روش RT-PCR با استفاده از پرایمرهای اختصاصی طراحی شده برای ژنهای GAPDH، CD39 و CD73 انجام شد و نتایج

## نتایج qPCR و RT-PCR

سلول‌های بنیادی مزانشیمی ژله وارتون تیمار شده از نظر بیان ژنهای CD39 و CD73 با سلول‌های گروه کنترل مقایسه شدند. بدین منظور، ابتدا مقدار و کیفیت نمونه‌های RNA استخراج شده از هر دو سلول‌های تیمار شده و کنترل بر اساس اندازه‌گیری نسبت جذب نوری  $260/280$  با استفاده از دستگاه نانودرایپ تعیین شد. علاوه بر اندازه‌گیری جذب نوری، کیفیت نمونه‌های RNA استخراج شده بر روی ژل

CD39 و CD73 در دو گروه تیمار شده و کنترل با استفاده از روش qPCR مورد استفاده قرار گرفتند. همچنین بیان ژن مرجع GAPDH به عنوان کنترل داخلی برای هر دو گروه اندازه‌گیری شد.

با استفاده از الکتروفورز ژل آکارز مورد بررسی قرار گرفت که به ترتیب باندهایی در bp ۲۱۸، ۱۸۰ و ۱۰۵ bp مشاهده شد (شکل ۳). سپس نمونه‌های cDNA سنتز شده برای بررسی بیان نسبی ژن‌های



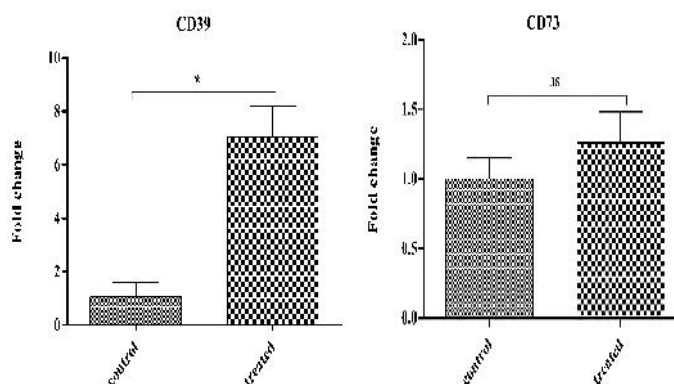
شکل ۳. محصول تکثیر cDNA های سنتز شده با پرایمرهای CD39، CD73، GAPDH بر روی ژل آکارز الکتروفورز

اختصاصی پرایمرها در تکثیر اختصاصی قطعات ژنی موردنظر و عدم جفت شدن پرایمرها و عدم تکثیر غیراختصاصی برای هر ژن منحنی ذوب رسم شد. یک مشاهده شده در منحنی ذوب پرایمر برای هر محصول، بیانگر وجود یک محصول ویژه و تکثیر

نتایج ارزیابی عملکرد آزمایش qPCR با استفاده از منحنی استاندارد ترسیم شده برای ژن‌های مورد نظر و مرتع میزان  $R^2$  را حدود ۰/۹۹ و شیب خط را حدود ۳/۳ نشان داد. به سبب عدم اختصاصیت رنگ فلورسنس سایبر گرین، برای اطمینان از عملکرد

معنی داری افزایش داشت و این ممکن است تعديل بیان ژنی تحت تیمار با سایتو کاین IFN- $\gamma$  را نشان دهد. در حالی که بیان ژن CD73 در سلول های WJ-MSC تیمار شده با گروه کنترل اختلاف معنی داری را نشان نداد (نمودار ۱).

اختصاصی بود. از نسبت سیکل آستانه (Ct) ژن GAPDH به عنوان ژن مرجع میزان بیان نسبی ژن های مورد نظر با روش  $C_t - 2^{-}$  به دست آمد. نتایج حاصل مشخص کرد که میانگین میزان بیان نسبی ژن CD39 نمونه های تیمار شده در مقایسه با نمونه های تیمار نشده (کنترل) به طور



نمودار ۱. بیان ژن های CD39 و CD73 در سلول های WJ-MSC تیمار نشده (کنترل) و سلول های WJ-MSC بعد از ۲۴ ساعت تیمار با سایتو کاین  $\times$

\*,  $p < 0.05$

دیگر برای فعالیت تعديل این منی سلول های بنیادی مزانشیمی عمل می کند یا خیر، مورد توجه قرار گرفته است. بر این اساس در این مطالعه ابتدا سلول های مزانشیمی با شباهت زیادی به سلول های فیبروبلاستی از ژله وارتون بند ناف انسان جداسازی شدند که به سهولت و سرعت رشد کرده و تکثیر داده شدند. در ادامه برای تعیین هویت، سلول های بنیادی مزانشیمی با تکنیک فلوسایتو متری آنالیز شدند که نتایج بیان مارکرهای CD105 و CD73 را نشان داد.

در بررسی ویژگی ایمونو مدولاتوری سلول های بنیادی مزانشیمی، مطالعه انجام شده توسط سالدانا آرائوژو نشان داد که هم کشتی سلول های بنیادی مزانشیمی مشتق از مغز استخوان انسان و لنفو سیت های T فعال شده با افزایش بیان CD39 و CD73 بر سطح سلول های MSC و آدنوزین تولید شده از این سلول ها سبب مهار تکثیر لنفو سیت های T می شود (۳۲). ساتلر و همکاران نیز با مطالعه بر روی سلول های MSC موشی دریافتند که بیان

## بحث

بر اساس شواهدی که تا کنون بدست آمده است، سلول های بنیادی مزانشیمی از قابلیت تکثیر و تمایز به سایر رده های سلولی، ایمونوژنیسیته پایین و عملکرد تعديل کنندگی این منی برخوردار هستند (۳۱, ۳۰). اگر چه بسیاری از یافته ها نقش سرکوب این سلول ها in vivo و چه در محیط in vitro تایید می کنند، افزایش اطلاعات ما از مکانیسم های مسئول تنظیم این منی سلول های بنیادی مزانشیمی و فاکتور های موثر بر آنها می تواند ما را در جهت استفاده صحیح و بهینه از این روش ها کمک نماید. در این مطالعه، اثر سایتو کاین التهابی اینترفرن گاما بر تغییرات در سطح بیان ژن های CD39 و CD73 در سلول های بنیادی مزانشیمی مشتق از ژله وارتون بند ناف انسان مورد بررسی قرار گرفت. از آنجا که آدنوزین به عنوان یک تنظیم گر این منی عملکرد دارد، این که آیا اینترفرن گاما در جهت افزایش آنزیم های تولید کننده آدنوزین به عنوان یک مکانیسم احتمالی

این است که IFN- $\gamma$  به تنهایی ناتوان از تقلید شرایط التهابی *in vivo* بوده تا موجب تغییر در بیان ژن CD73 شود که نیاز است مورد بررسی قرار گیرد. همچنین احتمال می‌رود که این ژن در تعديل اینتی تحت شرایط التهابی به طور فعال دخالت نداشته باشد که نیاز است مورد بررسی قرار گیرد. فعالیت CD39 در حضور IFN- $\gamma$ - منطبق با مشاهداتی است که افزایش سطح IFN- $\gamma$  و آدنوزین خارج سلولی در شرایط مزمن التهابی را نشان می‌دهند و ممکن است IFN- $\gamma$  بوده‌اند تحت تاثیر واقع شود (۳۹). نتایج مطالعه‌ای CD39-null نشان داده است که در موش‌های پاسخ‌های Th1/IFN- $\gamma$  تشدید شده و با آسیب شدیدتری در بیماری التهابی روده همراه می‌شود (۴۰). با این حال در مطالعه‌ای دیگر، افزایش بیان CD39 در میکروگلیاهای کاهش تولید IFN- $\gamma$  و جلوگیری از القاء بیان IDO را مشخص کرد که این تاثیری معکوس بر روند آسیب نورون‌ها با واسطه کوئینولینیک اسید (QUIN) در بیماران دیابتی داشت (۴۱). مطالعه هم‌کشتی سلول‌های کشنده طبیعی با سلول‌های بینیادی مزانشیمی مشتق از بندناف انسان عدم تغییر در میزان بیان CD39 و افزایش چشمگیر در بیان CD73 بر سطح سلول‌های کشنده طبیعی را نشان داد که گمان می‌رود این سلول‌ها برای تبدیل AMP به آدنوزین نیازمند مواجهه با MSC‌ها باشند (۴۲). در مطالعه‌ای دیگر هم‌کاران همچنین نشان داده است که سلول‌های بینیادی مزانشیمی بدست آمده از مغز از مغز استخوان انسان می‌توانند به طور موثر پاسخ سلول‌های Th17 را از طریق تولید آدنوزین با واسطه CD39/CD73 مهار کنند (۴۳).

مطالعه حاضر فقط با هدف بررسی بیان ژن‌های CD39 و CD73 در مواجهه با IFN- $\gamma$  که به عنوان یکی از بازیگرهای مهم در محل التهاب بشمار می‌رود انجام شده است. اما به طور حتم بررسی مکانیسم اثر IFN- $\gamma$  بر تولید و عملکرد فاکتورهای مهاری از جمله

CD39/CD73 جزء مهمی در عملکرد تنظیم اینتی این سلول‌ها بشمار می‌رود (۳۳). مشخص شده است که سلول‌های بنیادی خون‌ساز همچنین با کاهش تولید IL-1 $\beta$  از سلول‌های اندوتیال سینووزوئیدی کبد به شیوه وابسته به CD39 و مهار التهاب عروقی، روند بازسازی کبدی بدنیال هپاتکتومی را سرعت می‌بخشند (۳۴). در مطالعه‌ای دیگر، خاصیت تنظیم اینتی سلول- MSC مشتق از سرطان سروویکس (CeCa-) (MSC) بیان کننده اکتونوکلئوتیدازهای CD39 و CD73 بر مهار تکثیر، فعال‌سازی و فعالیت‌های اجرایی سلول‌های T کشنده با واسطه آدنوزین گزارش شده است (۳۵).

اینترفررون گاما در پیشبرد عملکرد ایمونومدولاتوری سلول‌های MSC و متعاقباً مهار تکثیر سلول‌های T یا سلول‌های کشنده طبیعی (NK) نقش دارد که ممکن است مربوط به تولید آدنوزین در اثر برهم‌کنش باشد (۳۶). یافته‌های تسه و همکاران همچنین نشان داد که سلول‌های بنیادی به دست آمده از مغز استخوان انسان حتی بعد از این که IFN- $\gamma$  اضافه شده به محیط باعث افزایش بیان ICAM-1 و MHC-II بر سطح سلول‌های بنیادی می‌شود، قادر به تحریک پاسخ تکثیری سلول‌های T نیستند (۳۷).

یافته‌های مطالعه حاضر نشان داد که بیان ژن CD39 در سلول‌های WJ-MSC بعد از ۲۴ ساعت تیمار با IFN- $\gamma$  در مقایسه با سلول‌های بنیادی مزانشیمی ژله وارتون تیمار نشده (کنترل) به طور معنی‌داری افزایش می‌یابد در حالی که مقایسه میزان بیان ژن CD73 بین سلول‌های کنترل و تیمار شده تفاوت معنی‌داری را نشان نداد. در آزمایش مشابهی توسط پراسانا و همکاران عدم تغییر در بیان مارکر CD73 در سلول‌های بنیادی مزانشیمی مشتق از مغز استخوان و ژله وارتون تحت تیمار با IFN- $\gamma$  و TNF- $\alpha$  یا CD73 تغییر بیان ژن گزارش شده است (۳۸). عدم تغییر بیان CD73 ممکن است ناشی از دوز کم IFN- $\gamma$  یا ناکافی بودن مدت زمان تیمار با این سایتوکائین باشد. احتمال دیگر

بنیادی مزانشیمی مشتق از ژله وارتون بندناف انسان در اثر قرار گرفتن در معرض یک سایتو کاین التهابی شناخته شده همچون  $\gamma$ -IFN را مطرح سازد و احتمال دستیابی به اهداف درمانی جدید بر اساس این اکتونو کلثوتیداز در همراهی با توانایی تمایزی بالقوه این سلول ها برای درمان بیماری هایی که به واسطه سیستم ایمنی ایجاد می شوند را پیشنهاد نماید.

### تشکر و قدردانی

این مطالعه حاصل پایان نامه دوره کارشناسی ارشد ژنتیک دانشگاه آزاد اسلامی واحد تبریز می باشد. بدین وسیله نویسندها مراتب تقدیر و تشکر خود را از مسئولین محترم معاونت پژوهشی دانشگاه آزاد اسلامی واحد تبریز ابراز می دارند. لازم به ذکر است که در انجام این تحقیق دانشگاه آزاد اسلامی واحد اردبیل و بیمارستان سبلان اردبیل نیز همکاری صمیمانه داشته اند.

آدنوزین از جمله سوالاتی است که نیاز است به آن پاسخ داده شود در حالی که در مطالعه حاضر میزان تولید این مولکول در مایع رویی کشت سلول های بنیادی مزانشیمی اندازه گیری نشده و نیاز به بررسی دارد. همین طور مکانیسم های عملکردی تولید آدنوزین از طریق مسیر CD39/CD73 بر چگونگی تعديل پاسخ های ایمنی توسط سلول های Timar شده با  $\gamma$ -IFN- $\alpha$  و دیگر سایتو کاین های التهابی از قبیل IL-1 و IL-17 در تماس با سلول های سیستم ایمنی و اثر دوز این سلول های بنیادی مزانشیمی باید مورد بررسی قرار گرفته و بهتر شناخته شوند.

### نتیجه گیری

با توجه به نتایج بدست آمده از مطالعات مربوط به بررسی نقش مهاری اکتونو کلثوتیداز های CD39 و CD73 بر سلول های سیستم ایمنی، نتایج حاصل از این مطالعه ممکن است نقش احتمالی بیان ژن CD39 در میانجیگری رفتارهای سرکوبگر ایمنی توسط سلول های

### References

- 1-Majumdar MK, Thiede MA, Mosca JD, Moorman M, Gerson SL. Phenotypic and functional comparison of cultures of marrow-derived mesenchymal stem cells (MSCs) and stromal cells. *J Cell Physiol*. 1998 Jul;176(1):57-66.
- 2-Pittenger MF, Mackay AM, Beck SC, Jaiswal RK, Douglas R, Mosca JD, et al. Multilineage potential of adult human mesenchymal stem cells. *Science*. 1999 Apr ;284(5411):143-7.
- 3-Baksh D, Song L, Tuan RS. Adult mesenchymal stem cells: characterization, differentiation, and application in cell and gene therapy. *J Cell Mol Med*. 2004 Jul-Sep;8(3):301-16.
- 4-Le Blanc K, Ringden O. Immunomodulation by mesenchymal stem cells and clinical experience. *J Intern Med*. 2007 Nov;262(5):509-25.
- 5-Ramasamy R, Tong CK, Seow HF, Vidyadaran S, Dazzi F. The immunosuppressive effects of human bone marrow-derived mesenchymal stem cells target T cell proliferation but not its effector function. *Cell Immunol*. 2008 Feb;251(2):131-6.
- 6-Ren G, Zhang L, Zhao X, Xu G, Zhang Y, Roberts AI, et al. Mesenchymal stem cell-mediated immunosuppression occurs via concerted action of chemokines and nitric oxide. *Cell Stem Cell*. 2008 Feb ;2(2):141-50.
- 7-Kong QF, Sun B, Bai SS, Zhai DX, Wang GY, Liu YM, et al. Administration of bone marrow stromal cells ameliorates experimental autoimmune myasthenia gravis by altering the balance of Th1/Th2/Th17/Treg cell subsets through the secretion of TGF-beta. *J Neuroimmunol*. 2009 Feb ;207(1-2):83-91.
- 8-DelaRosa O, Lombardo E, Beraza A, Mancheno-Corvo P, Ramirez C, Menta R, et al. Requirement of IFN-gamma-mediated indoleamine 2,3-dioxygenase expression in the modulation of lymphocyte proliferation by human adipose-derived stem cells. *Tissue Eng Part A*. 2009 Oct;15(10):2795-806.

- 9-Maccario R, Podesta M, Moretta A, Cometa A, Comoli P, Montagna D, et al. Interaction of human mesenchymal stem cells with cells involved in alloantigen-specific immune response favors the differentiation of CD4+ T-cell subsets expressing a regulatory/suppressive phenotype. *Haematologica*. 2005 Apr;90(4):516-25.
- 10-Dugast AS, Vanhove B. Immune regulation by non-lymphoid cells in transplantation. *Clin Exper Immunol*. 2009 Apr;156(1):25-34.
- 11-Crop M, Baan C, Weimar W, Hoogduijn M. Potential of mesenchymal stem cells as immune therapy in solid-organ transplantation. *Transpl Int*. 2009 Apr;22(4):365-76.
- 12-Ko JH, Lee HJ, Jeong HJ, Oh JY. Ly6C(hi) monocytes are required for mesenchymal stem/stromal cell-induced immune tolerance in mice with experimental autoimmune uveitis. *Biochem Biophys Res Commun*. 2017 Dec 9;494(1-2):6-12.
- 13-Chan CK, Lin TC, Huang YA, Chen YS, Wu CL, Lo HY, et al. The modulation of Th2 immune pathway in the immunosuppressive effect of human umbilical cord mesenchymal stem cells in a murine asthmatic model. *Inflamm Res*. 2016 Oct;65(10):795-801.
- 14-Kapranov NM, Davydova YO, Galtseva IV, Petinati NA, Drize NI, Kuzmina LA, et al. Effect of Priming of Multipotent Mesenchymal Stromal Cells with Interferon gamma on Their Immunomodulating Properties. *Biochemistry (Mosc)*. 2017 Oct;82(10):1158-68.
- 15-Shin TH, Kim HS, Kang TW, Lee BC, Lee HY, Kim YJ, et al. Human umbilical cord blood-stem cells direct macrophage polarization and block inflammasome activation to alleviate rheumatoid arthritis. *Cell Death Dis*. 2016 Dec ;7(12):e2524.
- 16-Chen YM, Yang WK, Whang-Peng J, Tsai CM, Perng RP. An analysis of cytokine status in the serum and effusions of patients with tuberculous and lung cancer. *Lung cancer*. 2001 Jan;31(1):25-30.
- 17-Ikeda H, Old LJ, Schreiber RD. The roles of IFN gamma in protection against tumor development and cancer immunoediting. *Cytokine Growth Factor Rev*. 2002 Apr;13(2):95-109.
- 18-Holan V, Hermankova B, Bohacova P, Kossl J, Chudickova M, Hajkova M ,et al. Distinct Immunoregulatory Mechanisms in Mesenchymal Stem Cells: Role of the Cytokine Environment. *Stem Cell Rev*. 2016 Dec;12(6):654-63.
- 19-Sitkovsky MV, Lukashev D, Apasov S, Kojima H, Koshiba M ,Caldwell C, et al. Physiological control of immune response and inflammatory tissue damage by hypoxia-inducible factors and adenosine A2A receptors. *Annu Rev Immunol*. 2004 Apr; 22:657-82.
- 20-Kerkela E, Laitinen A, Rabina J, Valkonen S, Takatalo M, Larjo A, et al. Adenosinergic Immunosuppression by Human Mesenchymal Stromal Cells Requires Co-Operation with T cells. *Stem Cells*. 2016 Mar;34(3):781-90.
- 21-Antonioli L, Pacher P, Vizi ES, Hasko G. CD39 and CD73 in immunity and inflammation. *Trends Mol Med*. 2013 Jun;19(6):355-67.
- 22-Roberts V, Stagg J, Dwyer KM. The Role of Ectonucleotidases CD39 and CD73 and Adenosine Signaling in Solid Organ Transplantation. *Front immunol*. 2014 Feb;5:64.
- 23-Kinsey GR, Huang L, Jaworska K, Khutsishvili K, Becker DA, Ye H, et al. Autocrine adenosine signaling promotes regulatory T cell-mediated renal protection. *J Am Soc Nephrol*. 2012 Sep;23(9):1528-37.
- 24-Burr SP, Dazzi F, Garden OA. Mesenchymal stromal cells and regulatory T cells: the Yin and Yang of peripheral tolerance? *Immunol Cell biol*. 2013 Jan;91(1):12-8.
- 25-Beavis PA, Stagg J, Darcy PK, Smyth MJ. CD73: a potent suppressor of antitumor immune responses. *Trend Immunol*. 2012 May;33(5):231-7.
- 26-Bastid J, Cottalorda-Regairaz A, Alberici G, Bonnefoy N, Eliaou JF, Bensussan A. ENTPD1/CD39 is a promising therapeutic target in oncology. *Oncogene*. 2013 Apr ;32(14):1743-51.
- 27-Lim JY, Park MJ, Im KI, Kim N, Jeon EJ, Kim EJ, et al. Combination cell therapy using mesenchymal stem cells and regulatory T-cells provides a synergistic immunomodulatory effect associated with reciprocal regulation of TH1/TH2 and th17/treg cells in a murine acute graft-versus-host disease model. *Cell Transplant*. 2014 Apr;23(6):703-14.
- 28-Borsellino G, Kleinewietfeld M, Di Mitri D, Sternjak A, Diamantini A, Giometto R ,et al. Expression of ectonucleotidase CD39 by Foxp3+ Treg cells: hydrolysis of extracellular ATP and immune suppression. *Blood*. 2007 Aug ;110(4):1225-32.

- 29-Conter LJ, Song E, Shlomchik MJ, Tomayko MM. CD73 expression is dynamically regulated in the germinal center and bone marrow plasma cells are diminished in its absence. *PLoS one.* 2014 Mar; 9(3):e92009.
- 30-Tan K, Zheng K, Li D, Lu H, Wang S, Sun X. Impact of adipose tissue or umbilical cord derived mesenchymal stem cells on the immunogenicity of human cord blood derived endothelial progenitor cells. *PLoS one.* 2017;12(5):e0178624.
- 31-Cho PS, Messina DJ, Hirsh EL, Chi N, Goldman SN, Lo DP, et al. Immunogenicity of umbilical cord tissue derived cells. *Blood.* 2008 Jan ;111(1):430-8.
- 32-Saldanha-Araujo F, Ferreira FI, Palma PV, Araujo AG, Queiroz RH, Covas DT, et al. Mesenchymal stromal cells up-regulate CD39 and increase adenosine production to suppress activated T-lymphocytes. *Stem Cell Res.* 2011 Jul;7(1):66-74.
- 33-Sattler C, Steinsdoerfer M, Offers M, Fischer E, Schierl R, Heseler K, et al. Inhibition of T-cell proliferation by murine multipotent mesenchymal stromal cells is mediated by CD39 expression and adenosine generation. *Cell Transplant.* 2011 Sep; 20(8):1221-30.
- 34-Schmelzle M, Duhme C, Junger W, Salhanick SD, Chen Y, Wu Y, et al. CD39 modulates hematopoietic stem cell recruitment and promotes liver regeneration in mice and humans after partial hepatectomy. *Ann Surg.* 2013 Apr;257(4):693-701.
- 35-de Lourdes Mora-Garcia M, Garcia-Rocha R, Morales-Ramirez O, Montesinos JJ, Weiss-Steider B, Hernandez-Montes J, et al. Mesenchymal stromal cells derived from cervical cancer produce high amounts of adenosine to suppress cytotoxic T lymphocyte functions. *J Transl Med.* 2016 Oct ;14(1):302.
- 36-Krampera M, Cosmi L, Angeli R, Pasini A, Liotta F, Andreini A, et al. Role for interferon-gamma in the immunomodulatory activity of human bone marrow mesenchymal stem cells. *Stem Cells.* 2006 Feb;24(2):386-98.
- 37-Tse WT, Pendleton JD, Beyer WM, Egalka MC, Guinan EC. Suppression of allogeneic T-cell proliferation by human marrow stromal cells: implications in transplantation. *Transplantation.* 2003 Feb ;75(3):389-97.
- 38-Prasanna SJ, Gopalakrishnan D, Shankar SR, Vasandan AB. Pro-inflammatory cytokines, IFNgamma and TNFalpha, influence immune properties of human bone marrow and Wharton jelly mesenchymal stem cells differentially. *PLoS one.* 2010 Feb ;5(2):e9016.
- 39-Cohen HB, Ward A, Hamidzadeh K, Ravid K, Mosser DM. IFN- prevents adenosine receptor (A2bR) upregulation to sustain the macrophage activation response. *J Immunol.* 2015 Oct; 195(8):3828-37.
- 40-Friedman DJ, Künzli BM, A-Rahim YI, Sevigny J, Berberat PO, Enjyoji K, et al. From the Cover: CD39 deletion exacerbates experimental murine colitis and human polymorphisms increase susceptibility to inflammatory bowel disease. *Proc Natl Acad Sci U S A.* 2009 Sep; 106(39):16788-93.
- 41-Hu P, Hunt NH, Arfuso F, Shaw LC, Uddin MN, Zhu M, et al. Increased Indoleamine 2,3-Dioxygenase and Quinolinic Acid Expression in Microglia and Müller Cells of Diabetic Human and Rodent Retina. *Invest Ophthalmol Vis Sci.* 2017 Oct; 58(12):5043-5055.
- 42-Chatterjee D, Tufa DM, Baehre H, Hass R, Schmidt RE, Jacobs R. Natural killer cells acquire CD73 expression upon exposure to mesenchymal stem cells. *Blood.* 2014 Jan;123(4):594-5.
- 43-Lee JJ, Jeong HJ, Kim MK, Wee WR, Lee WW, Kim SU, et al. CD39-mediated effect of human bone marrow-derived mesenchymal stem cells on the human Th17 cell function. Purinergic signal. 2014 Jun;10(2):357-65.